



Research Article

Assessment of the Anti-Cancer Properties of Harmine and Low-Frequency Electromagnetic Field (50 Hz) on Ovarian Cancer Cells (A2780)

Malihe Keykhapour¹ , Javad Baharara^{2,*} , Hamed Hatami³ , Maryam Lotfi² , Sajad Farrokhyar²

¹ Department of Biology, Faculty of Basic Sciences, Islamic Azad University, Mashhad, Iran

² Department of Biology and Research Center for Animal Development Applied Biology, Mashhad Branch Islamic Azad University, Mashhad, Iran

³ Department of Hematology, Samen- Al- Aimah Hospital, North Khorasan Social Security Organization, Bojnurd, Iran

* Corresponding author: Javad Baharara, Department of Biology and Research Center for Animal Development Applied Biology, Mashhad Branch Islamic Azad University, Mashhad, Iran. Email: baharara@yahoo.com

DOI: [10.61186/jams.27.3.137](https://doi.org/10.61186/jams.27.3.137)

How to Cite this Article:

Keykhapour M, Baharara J, Hatami H, Lotfi M, Farrokhyar S. Assessment of the Anti-Cancer Properties of Harmine and Low-Frequency Electromagnetic Field(50 Hz) on Ovarian Cancer Cells (A2780). *J Arak Uni Med Sci.* 2024;27(3): 137-45. DOI: [10.61186/jams.27.3.137](https://doi.org/10.61186/jams.27.3.137)

Received: 06.04.2024

Accepted: 15.07.2024

Keywords:

A2780 cell line;

Harmine;

Electromagnetic field

© 2024 Arak University of Medical Sciences

Abstract

Introduction: Harmine is an alkaloid from the carboline family, belonging to the harmal plant, which has extensive applications in traditional medicine, with numerous studies highlighting its anti-cancer effects. Since biological processes are influenced by electromagnetic fields, the current study examined the anti-cancer effects of harmine and low-frequency electromagnetic fields on the expression of COX2, VEGF, and MMP-2 genes in the A2780 cell line.

Methods: In this experimental-laboratory study, ovarian cancer cell lines were randomly divided into four groups: control, harmine at concentrations of 6, 12, 24, 48, 96, and 192 micromolar, low-frequency electromagnetic field with an intensity of 50 Gauss, and harmine at a concentration of 48 micromolar with a low-frequency electromagnetic field of 50 Gauss intensity. Their toxicity was assessed using the MTT assay, nuclear morphological changes by DAPI staining, apoptotic effects of these compounds by measuring nitric oxide (NO), and gene expression changes by Real-Time PCR. Quantitative data were analyzed the ANOVA statistical test at a $P < 0.05$ level.

Results: Quantitative data comparison of this research indicated that harmine and a low-frequency electromagnetic field with an intensity of 50 Gauss caused a concentration-dependent reduction in the viability of ovarian cancer cells. Additionally, in the nitric oxide test, a significant decrease was found in the control group compared to the groups treated with a concentration of 48 micromolar and synergized with a 50 Gauss electromagnetic field ($p < 0.05$). The expression of the aforementioned genes in treated cells showed a significant decrease. Treating ovarian cancer cells with harmine and its combined application led to significant nuclear morphological changes, including chromatin condensation, formation of apoptotic bodies, and wrinkling of the cell membrane.

Conclusions: The combined application of harmine and a low-frequency electromagnetic field induced apoptosis in A2780 cancer cells and resulted in the downregulation of COX2, VEGF-A, and MMP-2 gene expression. Consequently, the combined use of harmine with a low-frequency electromagnetic field, due to its effective cytotoxicity in inhibiting proliferation and inducing apoptosis, could be a suitable candidate for clinical studies.

ارزیابی خواص ضد سرطانی هارمین و میدان الکترومغناطیسی با فرکانس کم (۵۰ هرتز) بر سلول‌های سرطان رده‌ی تخمدان (A2780)

ملیحه کیخاپور^۱، جواد بهارآرا^{۲*}، حامد حاتمی^۳، میریم لطفی^۲، سجاد فخر یار^۲

^۱ گروه زیست‌شناسی، دانشکده علوم پایه، دانشگاه آزاد اسلامی، مشهد، ایران

^۲ گروه زیست‌شناسی، مرکز تحقیقات بیولوژی کاربردی تکوین جانوری، دانشگاه آزاد اسلامی، واحد مشهد، ایران

^۳ گروه هماتولوژی بیمارستان ثامن الائمه، سازمان تامین اجتماعی خراسان شمالی، بجنورد، ایران

* نویسنده مسئول: جواد بهارآرا، گروه زیست‌شناسی، مرکز تحقیقات بیولوژی کاربردی تکوین جانوری، دانشگاه آزاد اسلامی، واحد مشهد، ایران.

ایمیل: baharara@yahoo.com

DOI: [10.61186/jams.27.3.137](https://doi.org/10.61186/jams.27.3.137)

چکیده

تاریخ دریافت: ۱۴۰۳/۱/۱۸

تاریخ پذیرش: ۱۴۰۳/۴/۲۵

واژگان کلیدی:

رد سلولی A2780؛

هارمین؛

میدان الکترومغناطیسی

تمامی حقوق نسبت برای دانشگاه

علوم پزشکی اراک محفوظ است.

مقدمه: هارمین، یک آلکالوئید از دسته کربولین از خانواده اسپنده و گیاهی است که در طب سنتی کاربرد فراوانی دارد. مطالعات متعددی بر اثرات ضد سرطانی آن تأکید می‌کند. از آنجایی که فرایندهای بیولوژیکی تحت تأثیر میدان‌های الکترومغناطیسی می‌باشند، در مطالعه حاضر اثرات ضد سرطانی هارمین و میدان الکترومغناطیسی با فرکانس کم بر بیان ژن‌های COX-2، MMP-2 و VEGF A در رد سلولی A2780 بررسی شد.

روش کار: در این پژوهش تجربی- آزمایشگاهی، رد سلولی سرطان تخمدان در ۴ گروه شاهد، هارمین با غلظت‌های (۵، ۱۲، ۲۴، ۴۸، ۹۶، ۹۶ میکرومولار)، میدان الکترومغناطیسی با فرکانس کم و شدت ۵۰ گوس و هارمین با غلظت ۴۸ میکرو مولار و میدان الکترومغناطیسی با فرکانس کم و شدت ۵۰ گاوس به صورت تصادفی تقسیم شدند. سمیت آن‌ها با آزمون MTT، تغییرات ریخت‌شناسی هسته با رنگ‌آمیزی DAPI. اثرات آپوپتوزیس این ترکیبات با اندازه‌گیری نیتریک اکساید (NO) و تغییرات بیان ژن‌ها نیز به روش Real Time PCR بررسی گردید. داده‌های کمی با استفاده از آزمون آماری ANOVA در سطح $P < 0.05$ تجزیه و تحلیل شدند.

یافته‌ها: مقایسه داده‌های کمی این پژوهش نشان داد که هارمین و میدان الکترومغناطیسی با فرکانس کم و شدت ۵۰ گوس به صورت واپسی به غلظت باعث کاهش زیست‌پذیری در سلول‌های سرطان تخمدان شد و همچنین در تست نیتریک اکساید گروه شاهد با گروه‌های تیماریا غلظت ۴۸ میکرومولار و هم‌افزایی با میدان الکترومغناطیسی با فرکانس ۵۰ گوس کاهش معنی‌دار یافته است ($P < 0.05$). بیان ژن‌های فوق در سلول‌های تحت تیمار کاهش معنی‌دار نشان داد و تیمار سلول‌های سرطان تخمدان با هارمین و کاربرد توان آن باعث تغییرات ریخت‌شناسی هسته از جمله تراکم کروماتین، تشکیل اجسام آپوپتوزی و جزوکیدگی غشای سلول شد.

نتیجه گیری: کاربرد توان هارمین و میدان الکترومغناطیسی با فرکانس کم، باعث القای آپوپتوزیس در سلول‌های سرطانی A2780 و سبب کاهش بیان ژن‌های COX-2 و VEGF A و MMP-2 شد. در نتیجه کاربرد توان هارمین با میدان الکترومغناطیسی با فرکانس کم به دلیل داشتن سمیت سلولی مؤثر در مهار تکثیر و الق آپوپتوز می‌تواند کاندیدای مناسبی جهت مطالعات کلینیکی باشد.

ارجاع: کیخاپور ملیحه، بهارآرا جواد، حاتمی حامد، لطفی میریم، فخر یار سجاد، ارزیابی خواص ضد سرطانی هارمین و میدان الکترومغناطیسی با فرکانس کم (۵۰ هرتز) بر سلول‌های سرطان رده‌ی تخمدان (A2780). مجله دانشگاه علوم پزشکی اراک ۱۴۰۳؛ ۲۷(۳): ۱۴۵-۱۳۷.

مقدمه
خاص تشخیص داده نمی‌شود و باعث بروز عوارض و مرگ و میر نسبتاً بالایی می‌شود. علائمی از جمله درد لگن و درد زیر شکم، خونریزی و اڑینال در دوران قاعده‌گی، خونریزی نامنظم بعد از یائسگی، نفخ و تغییر در عادات ادراری یا روده‌ای به صورت موذیانه به عنوان تومورزایی پیشرفت می‌کنند (۱). در برخی موارد، سلول‌های سرطانی اولیه به بافت مجاور حمله کرده و به اندام‌های دور گسترش می‌یابند. این یک بیماری ناهمگن است که با

سرطان تخمدان، در رتبه هفتم شایع ترین تومورهای بدخیم در میان بیماری‌های زنانه قرار دارد که سلامت باروری زنان را به طور جدی تهدید می‌کند. این بیماری با پاتوزن‌پنهان، تشخیص اشتباه، میزان عود بالا و پیش‌بینی ضعیف مشخص می‌شود و در کلینیک، شیمی‌درمانی را در اولویت درمان قرار می‌دهند (۱). این بیماری تا مرحله پیشرفت‌به به طور

سیتوکین های پیش التهابی را تنظیم کند. علاوه بر این، می تواند فعالیت TNF- α را سرکوب کند. نتایج یک مطالعه توسط Geng و همکاران نشان داد که هارمین، رشد سلول های سرطانی را از طریق فعال سازی هماهنگ آپوپتوز و مهار اتوفرازی مهار می کند. بیش از نیمی از موارد سرطان اغلب دارای جهش در زن P53 هستند و آلکالوئید هارمین موجود در گیاه اسپند، به عنوان یک مولکول فعال کننده سیگنالینگ p53 در داخل سلول های سرطانی، سبب جلوگیری از رشد تومور، مهار رگزایی و القاء آپوپتوز می شود و با توقف تقسیم سلولی از رشد و پیشرفت سلول های سرطانی جلوگیری می کند (۱۰، ۹).

چیتبندی و همکاران در سال ۲۰۲۱ با بررسی اثر آلکالوئیدهای هارمین بر القای آپاپوتوزیس در رده سلولی سرطان کولون انسانی و تغییرات بیان زن های آپوپوتیک Bax bcl2 استفاده کردند و نتایج بررسی ها نشان داد که هارمین به دلیل داشتن سمیت مؤثر در مهار تکثیر و القای آپوپتوز، می تواند در درمان سلول های سرطان کولون مورد استفاده قرار گیرد (۹).

بسیاری از مطالعات نشان می دهد که میدان الکترومغناطیسی، از طریق تغییر در عملکرد یا فرایندهای عملکردی سلول ها، باعث تکثیر و تمایز سلولی، اختلال در سیکل سلولی، القای مرگ برنامه ریزی شده، اختلال در تعادل درون سلولی، رونویسی DNA. بیان زن و تولید رادیکال های آزاد می شود (۱۱). همچنین امواج الکترومغناطیسی در فرکانس های مختلف می تواند برای درمان سرطان کاربرد داشته باشد زیرا سلول های سرطانی مقدار زیادی آهن دارند و بیشتر به میدان الکترومغناطیسی حساس هستند و بطور کلی پذیرفته شده است که میدان های ۶۰/۵۰ هرتز نمی تواند مقدار کافی انژی را به سلول های منتقل کند و قادر به شکستن تک رشته و یا دو رشته DNA سلول های در مععرض تشعشعات نمی باشد تا بتواند مستقیماً به آسیب DNA برساند و اثرات ژنتوکسیک ایجاد کند. همچنین بیان تغییر یافته پروتئین های تنظیمی درگیر در مسیرهای انتقال سیگنال که مسیر آپاپوتوز را کنترل می کند نیز می تواند بر حساسیت دارویی تأثیر بگذارد (۱۲). از آنجایی که در دنیای مدرن، امواج الکترومغناطیسی به بخش جدای ناپذیر از زندگی روزمره تبدیل شده است در این پژوهش، اثر توانم میدان الکترومغناطیسی با فرکانس کم به همراه عصاره هارمین بر سرطان تخدمان رده سلولی A2780 بررسی شد.

روش کار

در این مطالعه، ۴ گروه مورد بررسی قرار گرفتند از جمله: شاهد، هارمین با غلاظت های (۶، ۱۲، ۲۴، ۴۸، ۹۶ میکرومولار)، میدان الکترومغناطیسی با فرکانس کم و شدت ۵۰ گوس و هارمین با غلاظت ۴۸ میکرومولار و میدان الکترومغناطیسی با فرکانس کم و شدت ۵۰ گاوس تیمار شدند. سلول های سرطانی A2780 از انتستیتو پاستور تهیه شد و در محیط میکروبی رشد RPMI1640 با ۱۰% FBS همراه با آنتی بیوتیک های پنی سیلین و استرپتومایسین در انکوباتور حاوی CO2 ۵% در فلاسک T25 کشت داده شدند. بعد از طی سه پاساژ به منظور خالص سازی، از سلول ها برای انجام مراحل بعد استفاده شد.

تحویه تولید میدان الکترومغناطیسی با فرکانس کم؛ به منظور

جهش های ارثی در زن های حساسیت، مانند زن سرکوب کننده تومور p53، انکوژن های ERBB2 و PIK3CA و غیره مرتبط است. تقریباً ۱۰ درصد از سرطان تخدمان در زنان حامل جهش های BRCA2 یا BRCA1 می دهد (۱). بسیاری از مطالعات نشان داده اند که عامل اساسی گسترش و تهاجم نامحدود تومور COX-2 (cyclooxygenase-2) (VEGF) (Vascular endothelial growth factor) و VEGF است.

COX-2 آنزیمی است که می تواند اسید آراشیدونیک را به پروستاگلاندین ها (PGs) تبدیل کند و شواهدی وجود دارد که بیان بیش از حد COX-2 باعث افزایش تکثیر و تهاجم سلول های تومور می شود (۲). از طرفی سیگنال دهی پاراکرین بین تومور و سلول های اپی تلیال و استرومایی اطراف برای حفظ ریزمحیط تومور، پیشرفت تومور و سرطان تخدمان حیاتی است (۳). سیگنال دهی فاکتور رشد اندوتلیال عروقی (VEGF) (واسطه کلیدی رگزایی و شناسایی نقش آن و سایر سیگنال دهی ها است (۳). مسیرهای مربوط به تنظیم رگزایی تومور در برابر سرطان تخدمان ارزشمند است و فرض شده که مسیر سیگنال (JAK) برای تومورزایی مبدل و فعال کننده مسیر رونویسی (STAT) هستند در واقع، پروتئین های STAT به عنوان گروهی از فاکتورهای رونویسی سیتوپلاسمی نهفته که در واکنش به سیگنالینگ سیتوکین فعال می شوند، مشخص شدند (۴، ۳). بیان نایجای زن های STAT باعث اختلال در بیان و افزایش بیان زن VEGF شده و به نوبه خود منجر به فعال شدن VEGFR-2 در سلول های اندوتلیال می شود و در نتیجه باعث تکثیر غیر قابل کنترل سلول و ایجاد سرطان می گردد، علاوه بر این، VEGFR-2، که عمدتاً در سلول های اندوتلیال بیان می شود، به عنوان یکی از اهداف رونویسی مستقیم STAT3 شناخته می شود (۵). درمان های معمول این بیماری روش های شیمی درمانی، رادیو درمانی، پر تودرمانی، هورمون درمانی و غیره می باشد، اما به دلیل عوارض جانبی ناشی از این راهکارها، استفاده از شیوه های درمانی جایگزین از اهمیت ویژه ای برخوردار است (۱، ۶).

یکی از این راهکارهای جایگزین استفاده از آلکالوئیدها می باشد (۶).

آلکالوئیدها از جمله مواد شیمیایی طبیعی موجود در غذاهای کاربردی و مواد مغذی هستند و برای پیشگیری و یا مدیریت استرس اکسیدانتیو و بیماری های ناشی از التهاب پیشنهاد شده اند (۶).

امروزه طیف گسترده ای از گیاهان که سرشار از آلکالوئیدها هستند کشف شده اند که فعالیت بیولوژیکی از خود نشان می دهند (۷). آلکالوئیدها، دارای فعالیت ضد رگزایی هستند و از طریق چندین اثر عمل می کنند (۸). مکانیسم های مهار رگزایی آلکالوئیدهای زیادی وجود دارد، تقریباً همه آلکالوئیدها یک فعالیت ضد تکثیری و سمیت در برابر رده های سلولی سرطانی نشان می دهند که از چندین منشاء بافت شناسی مختلف (مری، معده، روده بزرگ، کبد، ریه، پستان، استخوان و مغز) مشتق شده اند و این فعالیت به فعال شدن سلول های سرطانی و بیان زن های آپوپتوز نیز استگی دارد (۶). هارمین نیز حاوی آلکالوئید است و عموماً در دانه ها و ریشه اسپند یافت می شود.

هارمین، می تواند آپوپتوز را القا کند و فاکتورهای رونویسی و

هارمین تیمار شدند.

برای بررسی غلظت نیتریک اکساید در سلول‌ها از تست گریس استفاده شد (۱۵). در این روش واکنشگر گریس برای سنجش غلظت نیتریک اکساید به مایع روی سلول‌ها در گروه‌های شاهد و تیماری مختلف اضافه گردید و تمامی مراحل طبق پروتکل موجود در داخل کیت خریداری شده انجام شد و ۱۰۰ میکرولیتر از مایع فوقالی با ۱۰۰ میکرولیتر از معرف گریس حاوی ۲ درصد سولفاتیل آمید در اسید سولفوریک ۵ درصد و ۰/۱ درصد ۱-نفتیل اتیلن دی‌آمین مخلوط گردید. سپس جذب نوری با دستگاه اسپکتروفوتومتر در طول موج ۵۴۰ نانومتر قرائت شد. هرچه میزان نیتریک اکساید در نمونه بیشتر باشد، میزان جذب در آن طول موج بیشتر خواهد بود.

بررسی تغییرات ریخت‌شناسی هسته در سلول‌های تیماری با رنگ آمیزی هسته‌ای DAPI به منظور ارزیابی ریخت‌شناسی هسته‌ها از رنگ آمیزی DAPI استفاده شد. این تست جهت تأیید تأثیر سمیت سلول و ضد تکثیری هارمین مورد استفاده قرار گرفت. به این منظور بعداز تیمار، سلول‌ها به مدت ۵ دقیقه با متابول فیکس و سپس توسط DAPI رنگ آمیزی شدند. در انتهای نمونه توسط میکروسکوپ فلورسنت مشاهده شد (۱۶).

بررسی بیان ژن‌های VEGF A و COX2 و MMP2 در این مطالعه میزان بیان ژن‌های VEGF A، COX2 و MMP2 در A2780 تحت تیمار با هارمین و هم‌افزایی این ماده با میدان سلول‌های A2780 تجربه شد. برای بررسی تغییرات بیان ژن‌ها، در ابتدا RNA سلول‌های تیمار شده توسط هارمین و شاهد با استفاده از کیت استخراج RNA (کیت پارس توں) و بر اساس دستورالعمل شرکت سازنده استخراج شد. پس از بررسی کمی RNA جهت ساخت cDNA مورد استفاده قرار گرفت. به منظور ساخت cDNA از کیت پارس توں بر طبق دستورالعمل شرکت سازنده استفاده شد (۱۷). در این پژوهش از ژن‌ها VEGF A و COX2 و MMP2 به عنوان ژن هدف و ژن GAPDH به عنوان ژن مرجع استفاده شد. توالی پرایمرهای ژن‌های یاد شده در جدول ۱ آمده است.

داده‌های کمی با استفاده از نرم‌افزار SPSS نسخه ۲۲ آماری ANOVA و در سطح معنی‌داری ($P < 0.05$) (تجزیه و تحلیل شدن و در موارد لزوم از تست دانت و جهت رسم نمودارها از اکسل استفاده شد).

ملاحظات اخلاقی: محققین به تمامی اصول پروتکل‌ها و دستورالعمل‌های توصیه شده توسط معاهده هلсинکی در مورد رعایت اخلاق در پژوهش پایبند بودند. کلیه ضوابط اخلاقی در پژوهش لحاظ شده است.

تولید میدان الکترومغناطیسی با فرکانس کم (LF-EMF) از سیستم مولد میدان الکترومغناطیس در مرکز تحقیقات بیولوژی کاربردی (طراحی شده توسط بهارآرا و همکاران) جهت انجام آزمایشات استفاده شد. این سیستم می‌تواند میدان الکترومغناطیسی با فرکانس کم (۵۰ هرتز) و دامنه شدت بین ۱ تا ۶۰ میلی‌تسلا (۱۰ تا ۶۰۰ گاوس) فراهم کند. به طور خلاصه، سیستم الکترومغناطیسی شامل شیر برقی، منبع تغذیه با محدوده ولتاژ ۰ تا ۳۰۰ ولت، خازن، آمپر متر و سیستم انکوباسیون است. شدت مغناطیسی با تعییر ولتاژ الکتریکی مطابق با معادله $I = \mu \ln(4\pi f)$ شدت میدان Tesla، I شدت الکترومغناطیسی بر حسب B تنظیم شد (محاسبه $B = \mu I$). در طول آزمایش، دما $37 \pm 0.3^\circ$ درجه‌ی سانتی‌گراد باقی ماند (۱۸).

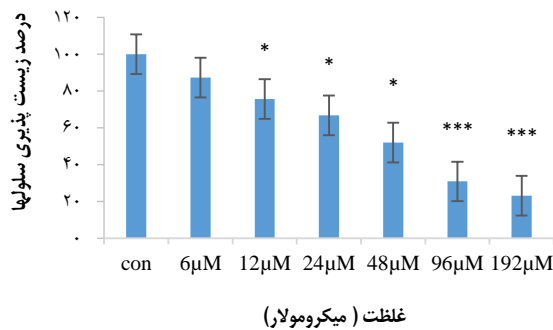
تعیین سمیت سلولی Cell viability by MTT assay. بررسی اثر سمیت هارمین با استفاده از روش MTT تعیین گردید. به منظور بررسی تأثیر هارمین بر میزان تکثیر و بقای سلولی، تعداد 5×10^5 سلول در میلی‌لیتر در هر چاهک پلیت ۹۶ خانه به مدت ۲۴ ساعت داخل انکوباتور تیمار شدند. سلول‌های تیمار شده با غلظت‌های مختلف (۱۲-۶-۲۴-۴۸-۹۶-۹۲ میکرومولار) هارمین و فاقد هارمین (گروه شاهد) به مدت ۲۴ ساعت انکوبه شدند. همچنین برای بررسی اثرات میدان الکترو مغناطیسی سلول‌ها در پلیت ۹۶ خانه کشت داده شدند و سپس به مدت ۴ ساعت در میدان الکترومغناطیسی با شدت ۵۰ گوس قرار گرفتند. برای تیمار در گروه هم‌افزایی از غلظت ۴۸ میکرومولار، کمتر از IC₅₀ بصورت همزمان با میدان الکترومغناطیسی با فرکانس کم استفاده گردید. پس از گذشت زمان مورد نظر، رنگ MTT به هر چاهک اضافه گردید و به مدت ۳ ساعت در انکوباتور قرار گرفتند. بعد از پایان سه ساعت زمان انکوباسیون، جهت سنجش نوری به هر یک از چاهک‌ها دی متیل سولفوکسید (DMSO) اضافه گردید. بلورهای فورمازان تولید شده درون هر چاهک با پیپتاژ به طور کامل بصورت محلول در آمدند. چگالی نوری محلول درون هر چاهک با استفاده از دستگاه اسپکتروفوتومتری در طول موج ۷۵۰ نانومتر سنجیده شد (۱۹).

Atreatment / Acontrol = درصد زیست‌پذیری سلول‌ها بررسی توان زیستی سلول‌ها با انجام تست نیتریک اکساید: در این مرحله پس از کشت سلول‌های A2780 در داخل پلیت ۹۶ خانه را به مدت ۲۴ ساعت داخل انکوباتور قرار دادیم بعد سلول‌ها به گروه‌های شاهد، تیمار و هم‌افزایی تقسیم شدند و سپس سلول‌ها توسط غلظت ۴۸ میکرومولار و هم‌افزایی (۴۸ میکرومولار) از محلول ۱ میلی‌مولار

جدول ۱. توالی پرایمرهای موربدبررسی

Gene	Forward ۵'→۳'	Reverse ۵'→۳'
COX2	ACC AGA GCA GGC AGA TGA AAT ACC-A	CAG GAT ACA GCT CCA CAG CAT CG
MMP2	CAT CGC TCA GAT CCG TGG TGA GA	TCC TCC TGT GGG GCC TCG TAT
VEGF A	AAG ATC CGC AGA CGT GTA AAT GTT CC	CGG CTT GTC ACA TCT GCA AGT ACG
GAPDH	GAACATCATCCCTGCATCCA	GTTCA CCAGTGAGCTTCCC

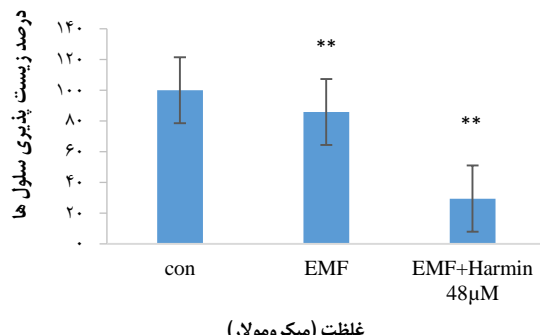
اثرات غلظت‌های مختلف هارمین بر زیست‌پذیری سلول‌های A2780 به منظور تعیین زیست‌پذیری سلول‌های سرطانی A2780 از آزمون سمیت سلولی با استفاده از MTT استفاده شد. با توجه به نمودار ۱، هارمین باعث کاهش معنی‌دار زیست‌پذیری سلول‌های سرطان تخدمان A2780 تحت تیمار با همه گروه‌ها بهجز گروه‌های تجربی ۱ ($6\mu\text{m}$) نسبت به گروه شاهد شد ($P < 0.05$). همان‌طور که ملاحظه می‌شود با افزایش غلظت میانگین، درصد بقاء کاهش یافته است. در نمودار ۲، نشان می‌دهد که کاربرد توازن هارمین (۴۸ میکرومولار) با میدان الکترومغناطیسی باشد ۵۰ گوس بیشترین کاهش را نسبت به گروه شاهد داشته است.



نمودار ۱. میانگین درصد بقاء

*: در سطح $0.05 < P < 0.01$ معنی‌دار است؛ **: در سطح $0.01 < P < 0.001$ معنی‌دار است.

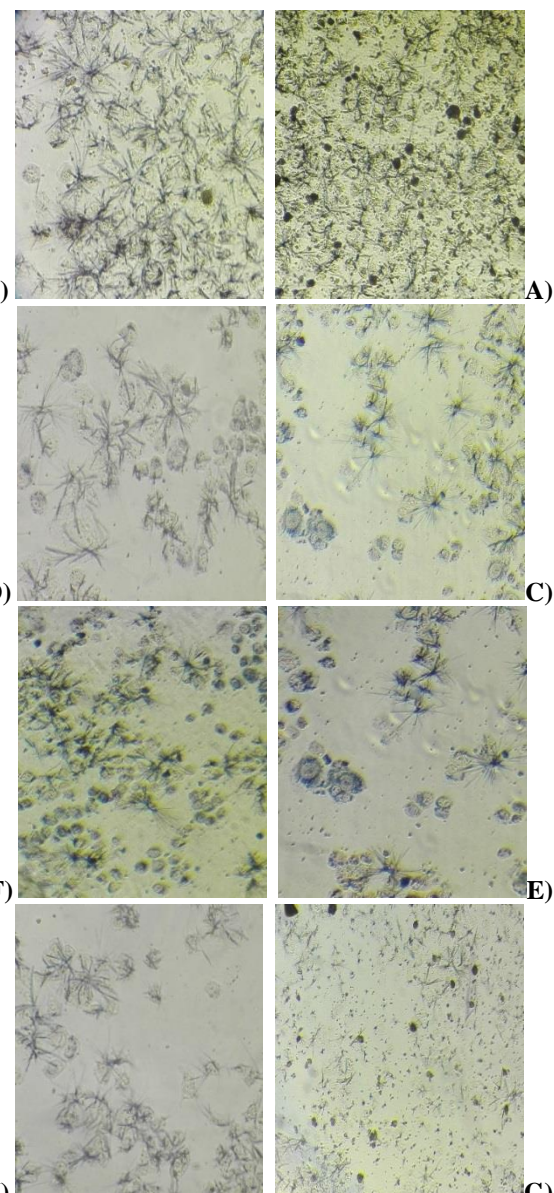
بررسی نتایج ارزیابی نیتریک اکساید (NO): به منظور بررسی اثرات آپوپتوزیس هارمین و میدان الکترومغناطیسی از روش نیتریک اکساید (NO) استفاده شد. با توجه به نمودار ۳، نشان می‌دهد که مقایسه میانگین غلظت نیتریک اکساید در گروه تیمار با غلظت ۴۸ میکرومولار هارمین نسبت به نمونه شاهد کاهش معنی‌دار داشته است ($P < 0.01$) و همچنین در سلول‌های تحت تیمار هارمین با غلظت (۴۸ میکرومولار) و میدان الکترومغناطیسی باشد ۵۰ گاؤس نیز کاهش معنی‌دار دارد ($P < 0.001$).



نمودار ۲. مقایسه اثر میدان الکترومغناطیسی (۵۰ گاؤس) و کاربرد توازن هارمین (۴۸ میکرومولار) با میدان الکترومغناطیسی ۵۰ گوس بر درصد زیست‌پذیری سلول‌ها **: در سطح $0.01 < P < 0.001$ معنی‌دار است.

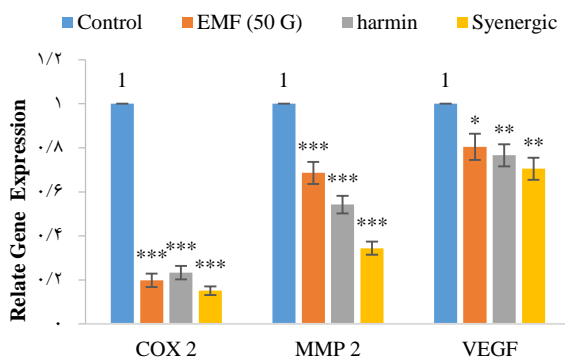
یافته‌ها

ریخت شناسی سلول‌های سرطانی تخدمان A2780 تحت تیمار با غلظت‌های مختلف هارمین و کاربرد توازن این دو عامل در شکل ۱ نشان می‌دهد که بخش زیادی از سلول‌های سرطانی تخدمان تیمار شده با هارمین از ظرف کشت جدا شده‌اند و سلول‌های چسبنده باقی مانده با از دست دادن چسبندگی، انقباض و گردشدن که تعییرات ریخت‌شناسی مرتبط با آپوپتوز است نمایان می‌شود.



شکل ۱. تصویر ریخت‌شناسی سلول‌های سرطانی تخدمان A2780 تحت تیمار با غلظت‌های مختلف هارمین با بزرگنمایی $\times 40$. A- سلول‌ها بدون دریافت هارمین. B- تیمار سلول‌ها با غلظت ۶ میکرومولار هارمین. C- تیمار سلول‌ها با غلظت ۱۲ میکرومولار هارمین. D- تیمار سلول‌ها با غلظت ۲۴ میکرومولار هارمین. E- تیمار سلول‌ها با غلظت ۴۸ میکرومولار هارمین. F- تیمار سلول‌ها با غلظت ۹۶ میکرومولار هارمین. G- تیمار سلول‌ها با غلظت ۱۹۲ میکرومولار هارمین. H- کاربرد توازن هارمین (۴۸ میکرومولار) و میدان الکترومغناطیسی ۵۰ گوس با شدت ۵۰ گوس.

الکترومغناطیسی با شدت ۵۰ گاوس کاهش یافته است ($P < 0.001$). همچنین کاربرد توأم میدان الکترو مغناطیسی با شدت ۵۰ گاوس و هارمین با غلظت (۴۸ میکرومولار) باعث کاهش بیشتری در سطح بیان این ژن شده است.

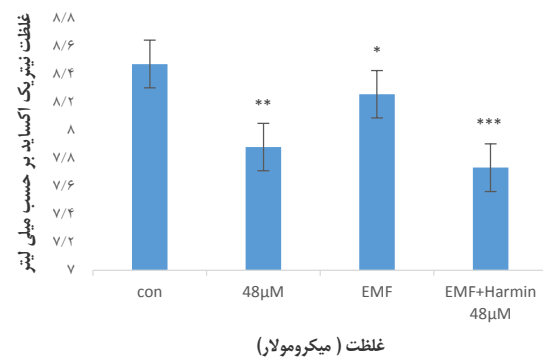


نمودار ۴. مقایسه مقدار بیان ژن‌های VEGF A، MMP 2 و COX2 تحت تیمار با هارمین و میدان الکترومغناطیسی با شدت ۵۰ گاوس و کاربرد توأم میدان الکترو مغناطیسی و هارمین در سلول‌های A2780

بحث

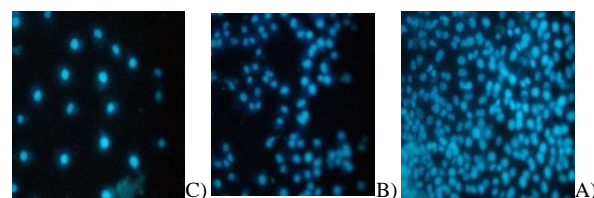
سرطان، یک بیماری کشنده و علت اصلی مرگ نه تنها در کشورهای توسعه نیافته، بلکه در کشورهای توسعه یافته است (۱۸، ۹). که ممکن است با تغییر مکانیکی در سلول‌های سرطانی فردی و همچنین تغییرات در آپوپتوز سرطان مرتبط باشد. مکانیسم‌های مولکولی زیربنایی برای تنظیم مکانوتیپ‌های سلولی نسبتاً مبهم هستند، اگرچه پذیرفته شده است که فرایندهای بیولوژیکی پیچیده، مانند مسیرهای مرتبط با چسبندگی سلولی، بازسازی اسکلت سلولی و اسکلت هسته‌ای در گیر هستند. در طی سال‌های اخیر، شواهد در حال ظهور نشان داده‌اند که تغییرات مکانیکی سلولی، مانند تغییرات در سفتی سلولی و تغییر شکل پذیری، رویدادهای فنتوتیپی رایج در توسعه و پیشرفت سرطان هستند و داشمندان با تلاش‌های فراوان در زمینه سرطان توانسته‌اند برخی از بیماری‌های بد خشم را به مرحله درمان برسانند (۱۸، ۹). با این حال روش‌های رایج درمان سرطان، سبب دستیابی به پیشرفت‌هایی در این زمینه شده است همچنین، استراتژی‌های درمان‌های اخیر، نیاز به تحقیقات بیشتر در زمینه محصولات طبیعی داشته که سبب تولید داروهای مؤثری در درمان سرطان گردیده است (۹).

این تحقیق با هدف بررسی اثر آلکالوئید هارمین و میدان الکترومغناطیسی ۵۰ گاوس بر القای آپوپتوزیس و اثرات ضد سرطانی آن بر رده سلولی سرطان تخدمان A2780 انجام شد. نتایج نشان داد که هارمین، منجر به کاهش زیست‌پذیری سلول‌های سرطانی تخدمان A2780 نسبت به گروه شاهد شده است و هم‌افزایی میدان الکترومغناطیسی ۵۰ گاوس و هارمین باعث کاهش مؤثرتر میانگین زیست‌پذیری سلول‌ها در مقایسه با کاربرد هریک از عوامل میدان الکترومغناطیسی و هارمین به تنهایی شد. بعلاوه هارمین به صورت توأم با



نمودار ۳. مقایسه میانگین غلظت نیتریک اکساید در گروه‌های تجربی با گروه شاهد: در سطح $P < 0.05$ معنی‌دار است؛ **: در سطح $P < 0.01$ معنی‌دار است؛ ***: در سطح $P < 0.001$ معنی‌دار است.

نتایج بررسی DAPI برای بررسی اثرات هارمین و کاربرد توأم آن با میدان الکترومغناطیسی با فرکانس کم برروی هسته سلول‌ها، از رنگ‌آمیزی DAPI استفاده شد. تغییرات ریخت‌شناصی حاصل از آپوپتوز همچون فشردگی و چروکیدگی هسته و تشکیل اجسام آپوپتویک با این رنگ‌آمیزی قابل تشخیص می‌باشد. در شکل ۲ مشاهده می‌شود که تیمار هارمین و کاربرد توأم آن با میدان الکترومغناطیسی با فرکانس کم بویژه در غلظت ۴۸ میکرومولار باعث قطعه قطعه شدن هسته و تشکیل اجسام آپوپتویک نسبت به گروه شاهد شد.



شکل ۲. تصویر سلول‌های سرطانی تخدمان A2780 تحت تیمار با غلظت‌های مختلف هارمین با بزرگنمایی $\times 40$. A- سلول‌ها بدون دریافت هارمین B- تیمار سلول با میدان الکترومغناطیسی. C- تیمار سلول با غلظت ۶۰ (۵۰ میکرومولار هارمین و میدان الکترومغناطیسی)

نتایج بررسی بیان ژن‌های COX2، MMP2، VEGFA تحت هارمین با روش آنالیز Real Time PCR نتایج آزمایشات در نمودار ۴ نشان داد که سطح بیان ژن VEGFA نسبت به نمونه شاهد در سلول‌های تحت تیمار هارمین با غلظت (۴۸ میکرومولار) و میدان الکترومغناطیسی با شدت ۵۰ گاوس کاهش یافته است ($P < 0.05$).

همچنین کاربرد توأم این دو عامل باعث کاهش بیشتری در سطح بیان این ژن شده است. نتایج سطح بیان ژن MMP2 نسبت به نمونه کنترل در سلول‌های تحت تیمار هارمین با غلظت (۴۸ میکرومولار) و میدان الکترومغناطیسی با شدت ۵۰ گاوس کاهش یافته است ($P < 0.01$). همچنین کاربرد توأم میدان الکترو مغناطیسی با شدت ۵۰ گاوس و هارمین با غلظت (۴۸ میکرومولار) باعث کاهش بیشتری در سطح بیان این ژن شده است و نتایج سطح بیان ژن COX2 نسبت به نمونه کنترل در سلول‌های تحت تیمار هارمین با غلظت (۴۸ میکرومولار) و میدان

شده است زیرا اجزای غشای پایه مانند کلاژن نوع I را تخریب کرده و همچنین، ۱۴ MMP سرطان را به طور کلی پیش‌بینی می‌کند (۲۳، ۲۱). MMP-۱۴ یک دامیر در سطح سلول و یک کمپلکس با ۲ TIMP-۲ (مهارکننده بافت متالوپروتئیناز) تشکیل می‌دهد تا MMP-۲ را فعال کند (۲۲). بیان MMP-۱۴ بسته به نوع سرطان متفاوت است و در تومورهای مزانشیمی، ملانومها و تومورهای مغزی زیاد است و همچنین در تومورهای کبدی و در کارسینومها از جمله سرطان سینه یافته است (۲۳). به طور کلی بیان متالوپروتئینازهای ماتریکس، ۲، ۹ و ۱۴ MMP-۲، MMP-۹، MMP-۱۴، MMP-۹ و مهارکننده‌های بافتی متالوپروتئیناز ۱ و ۲ (TIMP-۲)، TIMP-۲ و فاکتور رشد اندوتیال عروقی (VEGF-A) در تهاجم تومور و متاستاز از طریق تخریب ماتریکس خارج سلولی نقش دارد (۲۳).

به طور خاص، MMP-۹ها نقش مهمی را در سرطان بازی می‌کند زیرا پروتئین‌های Ras می‌تواند RECK را کاهش دهد که ممکن است منجر به افزایش ترشح MMP9 شود و در نتیجه رگزایی ناشی از VEGF-A را مهار کند (۲۵، ۲۶). رگزایی در سرطان، از جمله سرطان‌های زنان، برای رشد تومورهای اولیه و متاستاز ثانویه مورد نیاز است و توسعه درمان‌های ضد رگزایی در سرطان‌های زنان و بهبود اثر بخشی آن تمرکز اصلی تحقیقات بنیادی و بالینی بوده است (۲۵). از طرفی پروستاگلاندین‌ها که باعث التهاب و درد می‌شوند تهاجم از طریق COX2 تولید می‌شوند، هدف داروهای ضدالتهابی غیر استروئیدی، با تولید پروستاگلاندین‌ها واسطه اتساع عروق و تجمع پلاکتی است و مهار بیان COX-2 توسط هارمین در داخل بدن می‌تواند از طریق تعديل iNOS و STAT1 در برابر التهاب عفونی موثر باشد (۲۶).

نتایج تحقیق حاضرنشان داد که کاربرد توانم میدان‌های الکترومغناطیسی و هارمین باعث کاهش بیشتر بیان این زن‌ها در مقایسه با کاربرد هریک به تنها می‌شود. نیتریک اکسید یک مولکول پیام رسان ناپایدار است که توسط سه ایزوفورم مختلف تولید می‌شود و در طیف گسترده‌ای از فرآیندهای فیزیولوژیک بدن نقش دارد (۲۷). نتایج مطالعه حاضر نشان داد که مقدار نیتریک اکساید تحت تیمار با میدان الکترومغناطیسی (۵۰ گاوس) و هارمین کاهش می‌یابد ولی کاربرد هریک به تنها می‌شود. نتایج این تحقیق نشان داد که این نتایج با مطالعات قبلی همسو بود.

استفاده از ترکیبات طبیعی با توجه به داشتن عوارض جانبی کمتر نسبت به روش‌های رایج درمان سرطان می‌تواند مسیر امیدوارکننده‌ای برای درمان سرطان محسوب گردد. هارمین با توجه به کم‌هزینه و در دسترس بودن آن می‌تواند به عنوان یک نامزد داروی ضد سرطان بیشتر مورد توجه و مطالعه قرار گیرد. نتایج حاصل از این پژوهش نشان داد که کاربرد توانم میدان‌های الکترومغناطیسی و سطح بیان زن COX2 (بیومارکر ویژه التهاب‌زا)، سطح بیان زن MMP2 (بیومارکر ویژه متاستازیک) و سطح بیان زن VEGF A (بیومارکر ویژه آنتیوژنیک) که از اهداف مهم در درمان انواع سرطان‌ها می‌باشند را نسبت به گروه شاهد به طور چشم‌گیری کاهش می‌دهد. در نهایت نتایج حاصل از این تحقیق می‌تواند پیشنهاداتی را در جهت استفاده از ترکیبات طبیعی همراه با

میدان الکترومغناطیسی باشد ۵۰ گاوس، کاهش معنی‌داری در بیان ژن‌های VEGF a، MMP2 و COX2 را باعث شد. استفاده از عصاره‌های گیاهی متابولیت‌های ثانویه استخراج شده از گیاهان به عنوان آنتی‌اکسیدان در صنایع پزشکی، دارویی و صنایع غذایی کاربرد وسیعی پیدا نموده است؛ با توجه به عدم پذیرش افزودنی‌های شیمیایی و آنتی‌اکسیدان‌های سنتزی از سوی مصرف‌کنندگان به دلیل اثرات نامطلوب این ترکیبات بر سلامت انسان و از آن جا که برای هارمین اثرات درمانی متعدد از جمله ضد سرطانی و آنتی‌اکسیدانی پیشنهاد شده است از آنجایی که تاکنون نیز مطالعه‌ای در زمینه اثر هم‌افزایی هارمین و میدان الکترومغناطیسی بر خواص ضد سرطانی هارمین و میدان A2780 روی سرطان تخمدان رده سلولی A2780 این موضوع ما را بر آن داشت که به بررسی اثر احتمالی بیولوژیکی این مواد و ارزیابی فعالیت ضد سرطانی آنها بپردازیم.

برای مطالعه اثرات ضد سرطانی هارمین بر رده سلولی A2780 میدان‌های الکترومغناطیسی و کاربرد توانم این دو عامل از رده سلولی سرطان تخمدان A2780 مقاوم به سیس پلاتین استفاده شد.

در گام اول اثرات سمیت هارمین بر رده سلولی مذکور بررسی گردید. برای بررسی سمیت از آزمون MTT استفاده شد. این آزمون بر پایه احیای نمک‌های تترازولیوم به وسیله فعالیت‌های متابولیکی سلول زنده (توسط آنزیم دهیدروژناز) استوار است که در نتیجه‌ی فرایند احیا، بلورهای بنفسرنگ فورمازن تشکیل می‌شود. سیس این بلورها در حلال مناسب حل شده و به وسیله‌ی روش‌های اسپیکتروفوتومتری مقدار سنجی می‌شود. مقدار بلور فورمازن ایجاد شده می‌تواند نشان‌دهنده درصد سلول‌های زنده باشد.

نتایج آزمون MTT نشان داد که هارمین سبب کاهش تعداد و کاهش زیست‌پذیری سلول‌های سرطانی تخمدان رده A2780 به صورت وابسته به غلظت می‌شود. همچنین در این مطالعه نشان داده شد که میدان الکترومغناطیسی باشد ۵۰ گاوس باعث کاهش معنادار در زیست‌پذیری سلول‌های رده A2780 می‌شود. اثرات ضد تکثیری میدان‌های الکترومغناطیس در مطالعات قبلی نیز بررسی شده است. در تحقیق حاضر مشاهده شد که کاربرد توانم میدان الکترومغناطیسی باشد ۵۰ گاوس و هارمین با غلظت (۴۸ میکرومولار) باعث کاهش بیشتری در رشد سلول‌های سرطانی رده A2780 نسبت به زمانی که از این دو عامل به صورت تنها یا استفاده شد می‌شود.

افزایش برخی شاخص‌های آنتیوژنیک مانند VEGF نه تنها تشکیل عروق خونی جدید بلکه عروق لنفاوی درون تومور را نیز افزایش می‌دهد (۱۹).

MMP-۱۴ می‌تواند میانند کاهش معنادار در فرایندهای فیزیولوژیکی طبیعی، بلکه در فرایندهای پاتولوژیک مانند التهاب و سرطان نقش دارند، بیش از ۲۰ نوع MMP وجود دارد که توسط بدن تولید می‌شود که عملکردهای بیولوژیکی متعددی را انجام می‌دهد که برای فرایندهای تخریب، مهاجرت سلولی، اپوپتوز ضروری هستند (۲۳-۲۱). اکثر MMP‌ها به صورت پروپروتئین‌های غیرفعال ترشح می‌شوند که در صورت جدا شدن توسط

پروتئینازهای خارج سلولی فعال می‌شوند (۲۱).

در سال ۱۹۹۴، MMP-14 اولین میکرونولار متصل به غشا بود که

توصیف شد و نقش آن در تهاجم و متاستاز در مدل‌های حیوانی نشان داده

تشکر و قدردانی

این مطالعه با شماره پایان‌نامه ۱۱۱۳۰۵۱۷۹۵۲۰۰۲ به تأیید مدیر پژوهشی دانشکده علوم پایه مشهد رسیده است. بدبین و سیلیه از همکاران محترم مرکز تحقیقاتی بیولوژی کاربردی دانشگاه آزاد اسلامی تشکر می‌شود.

سهم نویسنده‌گان

تمامی نویسنده‌گان به یک اندازه در نگارش مقاله سهیم بوده‌اند.

تضاد منافع

بنابر اظهار نویسنده‌گان، این مقاله تعارض منافع ندارد.

میدان الکترومغناطیسی به عنوان یک روش مکمل کنترل رشد سلول‌های سرطانی ارائه کند.

نتیجه‌گیری

استفاده از ترکیبات طبیعی با توجه به داشتن عوارض جانبی کمتر نسبت به روش‌های رایج درمان سرطان، می‌تواند مسیر امیدوار کننده‌ای برای درمان سرطان محسوب گردد. یافته‌های این بررسی بیانگر آن بود که کاربرد توأم هارمین و میدان الکترومغناطیسی با فرکانس کم در رده سلوی A2780 می‌باشد. لذا مطالعات بالینی بر روی مدل‌های حیوانی جهت تأیید این موضوع امری ضروری است.

References

- Mirzaie A, Diba H, Khosravi-Nejad F, Javanmardi H. Synergistic cytotoxicity of bevacizumab and silver nanoparticles on ovarian cancer cell line (A2780) and analysis of Bcl-2 and caspase 3 apoptotic genes expression [in Persian]. *Cell and Tissue Journal*. 2021;12(2):72-8. doi: [10.52547/JCT.12.2.72](https://doi.org/10.52547/JCT.12.2.72)
- Guo H, Xue W, Zhao Q, Zhao H, Hu Z, Zhang X, Duan GJJCS. Correlation and significance of COX-2, Ki67, VEGF and other immune indexes with the growth of malignant pulmonary nodules. *J Cardiothorac Surg*. 2022;17(1):290. pmid: [36384712](https://doi.org/10.1186/s13019-022-02039-7) doi: [10.1186/s13019-022-02039-7](https://doi.org/10.1186/s13019-022-02039-7)
- Masoumi-Dehghani S, Babashah S, Sadeghizadeh M. microRNA-141-3p-containing small extracellular vesicles derived from epithelial ovarian cancer cells promote endothelial cell angiogenesis through activating the JAK/STAT3 and NF-κB signaling pathways. *J Cell Commun Signal*. 2020;14(2):233-44.
- Chen S-M, Jahejo AR, Nabi F, Ahmed S, Zhao J-f, Yu J, et al. Janus kinase/signal transducer and activator of transcription signaling pathway-related genes STAT3, SOCS3 and their role in thiram induced tibial dyschondroplasia chickens. *Res Vet Sci*. 2021;136:25-31.
- Sanaei Jahromi M, Kavousi F. Evaluation of the effect of valproic acid on JAK/STAT pathway, SOCS1, SOCS3, Bcl-xL, c-Myc, and Mcl-1 gene expression, cell growth inhibition and apoptosis induction in human colon cancer HT29 cell line [in Persian]. *Armaghan-e Danesh*. 2021;26(3):324-37. doi: [10.52547/armaghanj.26.3.324](https://doi.org/10.52547/armaghanj.26.3.324)
- Alasvand M, Assadollahi V, Ambra R, Hedayati E, Kooti W, Peluso IJOM, longevity c. Antiangiogenic effect of alkaloids. *Oxid Med Cell Longev*. 2019, 2019:9475908. pmid: [31178979](https://doi.org/10.1155/2019/9475908) doi: [10.1155/2019/9475908](https://doi.org/10.1155/2019/9475908)
- Adamski Z, Blythe LL, Milella L, Bufo SA. Biological activities of alkaloids: from toxicology to pharmacology. *Toxins (Basel)*. 2020;12(4):210. pmid: [32224853](https://doi.org/10.3390/toxins12040210) doi: [10.3390/toxins12040210](https://doi.org/10.3390/toxins12040210)
- Wink M. Annual plant reviews, biochemistry of plant secondary metabolism. Hoboken, NJ: John Wiley & Sons; 2011.p.99-1177.
- Geng X, Ren Y, Wang F, Tian D, Yao X, Zhang Y. Harmines inhibit cancer cell growth through coordinated activation of apoptosis and inhibition of autophagy. *Biochem Biophys Res Commun*. 2018;498(1):99-104. pmid: [29501493](https://doi.org/10.1016/j.bbrc.2018.02.205) doi: [10.1016/j.bbrc.2018.02.205](https://doi.org/10.1016/j.bbrc.2018.02.205)
- Chitbandi R, Baharara J, Tehranipour M. Apoptosis induction of harmine on human colon cancer cell line HT29 and alteration in apoptotic genes expression P53, Bax and Bcl-2 [in Persian]. *Journal of Animal Biology* 2022;14(4):51-63.
- Roshankhah S, Arji Rodsari B, Jalili C, Salahshoor MR. The role of harmine in up-regulating p53 gene expression and inducing apoptosis in MCF-7 cell line [in Persian]. *Middle East Journal of Cancer*. 2020;11(1):34-41. doi: [10.30476/mejc.2019.78703.0](https://doi.org/10.30476/mejc.2019.78703.0)
- Moshtaghi S, Parivar K, Baharara J, Hayati N, Kerachian MA. Synergic application effects of bromelain and low-frequency electromagnetic field on the aortic ring on angiogenesis [in Persian]. *Journal of Plasma and Biomarkers*. 2019;12(1):13-24.
- Barati M, Darvishi B, Javidi MA, Mohammadian A, Shariatpanahi SP, Eisavand MR, et al. Cellular stress response to extremely low-frequency electromagnetic fields (ELF-EMF): An explanation for controversial effects of ELF-EMF on apoptosis. *Cell Prolif*. 2021;54(12):e13154. pmid: [34741480](https://doi.org/10.1111/cpr.13154) doi: [10.1111/cpr.13154](https://doi.org/10.1111/cpr.13154)
- Baharara J, Zahedifar Z. The effect of low-frequency electromagnetic fields on some biological activities of animals [in Persian]. *J Arak Univ Med Sci*. 2012;15(7):80-93.
- Barahara J, Hadad F, Ashraf A, Khanderoo E. The effect of extremely low frequency electromagnetic field [50Hz] on induction of chromosomal damages on bone marrow erythrocytes of male Balb/C mouse [in Persian]. *J Arak Univ Med Sci* 2008;11(2):19-26.
- Maftoon M, Ahmadi R. The cytotoxic effect of progesterone on viability and Nitric oxide gene expression in fibroblastoma cells (L929) [in Persian]. *Res Cell and Tissue*. 2021;2(2):28-34.
- Khezri S, Baharara J, Amini E. Evaluation of the effect of menthol on apoptosis induction and Bax and Bcl2 gene expression in the CT-26 colon cancer cell line [in Persian]. *Cell and Tissue Journal*. 2021;12(1):20-8. doi: [10.52547/JCT.12.1.20](https://doi.org/10.52547/JCT.12.1.20)
- Salek F, Baharara J, Nejad Shahrokhabadi K, Amini E. Comparison of the effect of exosomes derived from Sertoli cells with vitamin C on damage induced by electromagnetic field (50 Hz) in spermatogonial stem cells [in Persian]. *Journal of Plasma and Biomarkers*. 2021; 1:173:112-22.
- Thawabteh A, Juma S, Bader M, Karaman D, Scrano L, Bufo SA, et al. The biological activity of natural alkaloids against herbivores, cancerous cells and pathogens. *Toxins (Basel)*. 2019;11(11):656.
- Quintero-Fabián S, Arreola R, Becerril-Villanueva E, Torres-Romero JC, Arana-Argáez V, Lara-Riegos J, et al. Role of matrix metalloproteinases in angiogenesis and cancer. *Front Oncol*. 2019;9:1370. pmid: [31921634](https://doi.org/10.3389/fonc.2019.01370) doi: [10.3389/fonc.2019.01370](https://doi.org/10.3389/fonc.2019.01370)
- Ribatti D, Solimando AG, Pezzella F. The anti-VEGF (R) drug discovery legacy: improving attrition rates by breaking the vicious cycle of angiogenesis in cancer. *Cancers (Basel)*.

- 2021;13(14):3433. **pmid:** 34298648 **doi:** [10.3390/cancers13143433](https://doi.org/10.3390/cancers13143433)
22. Caroline Vos M, van der Wurff AA, van Kuppevelt TH, Massuger LFAG. The role of MMP-14 in ovarian cancer: a systematic review. *J Ovarian Res.* 2021;14(1):101. **pmid:** 34344453 **doi:** [10.1186/s13048-021-00852-7](https://doi.org/10.1186/s13048-021-00852-7)
23. Carey P, Low E, Harper E, Stack MS. Metalloproteinases in ovarian cancer. *Int J Mol Sci.* 2021;22(7):3403. **pmid:** 33810259 **doi:** [10.3390/ijms22073403](https://doi.org/10.3390/ijms22073403)
24. Azevedo Martins JM, Rabelo-Santos SH, do Amaral Westin MC, Zeferino LC. Tumoral and stromal expression of MMP-2, MMP-9, MMP-14, TIMP-1, TIMP-2, and VEGF-A in cervical cancer patient survival: a competing risk analysis. *BMC Cancer.* 2020;20(1):660. **pmid:** 32669083 **doi:** [10.1186/s12885-020-07150-3](https://doi.org/10.1186/s12885-020-07150-3)
25. Miller F, Singh GJOEoCCotB. Cancer and Angiogenesis. *NCI.* 2016;39-54.
26. Yetkin-Arik B, Kastelein AW, Klaassen I, Jansen CH, Latul YP, Vittori M, et al. Angiogenesis in gynecological cancers and the options for anti-angiogenesis therapy. *Biochim Biophys Acta Rev Cancer.* 2021;1875(1):188446. **pmid:** 33058997 **doi:** [10.1016/j.bbcan.2020.188446](https://doi.org/10.1016/j.bbcan.2020.188446)
27. Jin S-J, Song Y, Park HS, Park KW, Lee S, Kang HJL. Harmine Inhibits Multiple TLR-Induced Inflammatory Expression through Modulation of NF-κB p65, JNK, and STAT1. *Life (Basel).* 2022;12(12):2022. **pmid:** 36556387 **doi:** [10.3390/life12122022](https://doi.org/10.3390/life12122022)
28. Hooshyar M, Abedian-Kenari S, Mohammadpour A, Mirmajidi H, Jafari-Sabet M, Ataei R. Evaluation of NOS2 Polymorphism in Gastric Adenocarcinoma Patients in Mazandaran Province [in Persian]. *jssu.* 2021;29(6):3843-53. **doi:** [10.18502/ssu.v29i6.6994](https://doi.org/10.18502/ssu.v29i6.6994)